

Г.В. Кузнецов¹, М.А. Шеремет²

Томский политехнический университет, Россия (1)

Томский государственный университет, Россия (2)

МОДЕЛИРОВАНИЕ СОПРЯЖЕННОГО ТЕПЛОПЕРЕНОСА В ЗАМКНУТОМ ОБЪЕМЕ С ИСТОЧНИКАМИ ТЕПЛОТЫДЕЛЕНИЯ

АННОТАЦИЯ

Представлены результаты исследования пространственного сопряженного конвективно-кондуктивного теплопереноса в замкнутом объеме с двумя локальными источниками тепловыделения в условиях конвективно-радиационного теплообмена на одной из внешних граней области решения. Получены пространственные распределения гидродинамических параметров и температур, характеризующие основные закономерности рассматриваемого процесса. Установлены масштабы взаимного влияния конвективного теплопереноса в газовой фазе и кондуктивного теплопереноса в элементах твердой фазы.

1. ВВЕДЕНИЕ

При комплексном анализе процессов сопряженного конвективно-кондуктивного теплопереноса в областях с большим числом геометрических и теплофизических параметров необходимо использовать математическую постановку, учитывающую теплоперенос как в элементах конденсированной фазы (ограждающие конструкции), так и в самой газовой полости [1]. Подобные задачи представляют собой практический интерес (газовые турбины, топливные системы летательных аппаратов, теплообменники и др.).

В современной научной литературе результаты решения сопряженных задач конвективно-кондуктивного теплопереноса в пространственной постановке не представлены. Известны решения, связанные с моделированием отдельно пространственных конвективных течений, пространственного кондуктивного теплопереноса.

Целью данной работы является математическое моделирование нестационарного процесса сопряженного конвективно-кондуктивного теплопереноса в объекте, представляющем собой замкнутый объем с локальными источниками тепловыделения и неоднородными граничными условиями.

Используемый метод решения был протестирован на модельной задаче. Рассматривалась естественная конвекция в замкнутом кубе, одна грань которого имеет максимальную температуру, противоположная грань – минимальную температуру, температура на остальных гранях изменяется по линейному закону. Сравнение полученных результатов с данными других авторов [2] показало достаточно хорошее соответствие.

2. МАТЕМАТИЧЕСКАЯ МОДЕЛЬ

Рассматривается краевая задача сопряженного конвективно-кондуктивного теплопереноса для области, представленной на рис. 1.

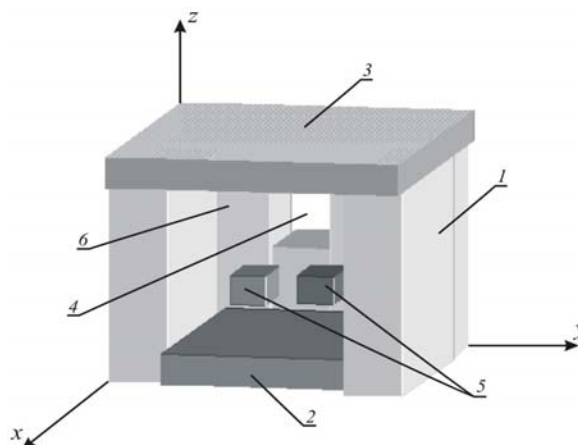


Рис. 1. Область решения рассматриваемой задачи: 1–4 – элементы твердой фазы; 5 – локально сосредоточенные источники тепловыделения; 6 – газовая фаза

Область решения включает 13 подобных по форме параллелепипедов, имеющих разные размеры и различные теплофизические характеристики. На границах между всеми параллелепипедами и на границах с внешней по отношению к рассматриваемому объекту средой выставлялись граничные условия, характеризующие процессы подвода или отвода энергии.

Температура на источниках тепловыделения принимается постоянной в течение всего процесса. Горизонтальные ($z = 0$, $z = H$) и вертикальные ($x = L_x$; $y = 0$, $y = L_y$) стены заданной толщины, образующие газовую полость, предполагаются теплоизолированными с наружной стороны. На внешней границе одной из стен ($x = 0$) осуществляется конвективно-радиационный теплообмен с окружающей средой.

При проведении анализа предполагается, что теплофизические свойства ограждающей конструкции и воздуха не зависят от температуры, а режим течения является ламинарным. Воздух считается ньютоновской жидкостью, несжимаемой и удовлетворяющей приближению Буссинеска [3]. Движение газовой фазы и теплоотдача во внутреннем объеме принимаются пространственными, теплообмен излучением от источника тепловыделения и между стенами – пренебрежимо малым по сравнению с

конвективным теплообменом, газ – абсолютно прозрачным для теплового излучения.

В такой постановке процесс переноса тепла в рассматриваемой области (рис. 1) описывается системой нестационарных пространственных уравнений конвекции в приближении Буссинеска для газовой фазы [3] и уравнением теплопроводности для твердой фазы с нелинейными граничными условиями.

Математическая модель, соответствующая сформулированной физической постановке, рассматривалась в безразмерных переменных.

В качестве масштаба расстояния выбрана длина газовой полости рассматриваемой области решения по оси x . Для приведения к безразмерному виду системы уравнений использовались следующие соотношения:

$$X = \frac{x}{L_x}, \quad Y = \frac{y}{L_x}, \quad Z = \frac{z}{L_x}, \quad \tau = \frac{t}{t_0},$$

$$U = \frac{u}{V_0}, \quad V = \frac{v}{V_0}, \quad W = \frac{w}{V_0}, \quad \Theta = \frac{T - T_0}{T_{и.т} - T_0},$$

$$\text{где } V_0 = \sqrt{g_z \beta (T_{и.т} - T_0) L_x}.$$

Моделирование процесса конвективного теплопереноса в газовой фазе рассматривалось на основе переменных [4]:

- векторный потенциал

$$\vec{\psi} = \psi_x \vec{i} + \psi_y \vec{j} + \psi_z \vec{k},$$

удовлетворяющий уравнению неразрывности

$$\frac{\partial u}{\partial x} + \frac{\partial v}{\partial y} + \frac{\partial w}{\partial z} = 0,$$

при этом

$$\vec{V} = \text{rot} \vec{\psi};$$

- вектор завихренности скорости

$$\vec{\omega} = \frac{1}{2} \text{rot} \vec{V}.$$

Для обезразмеривания основных переменных – векторный потенциал и вектор завихренности – использовались следующие соотношения:

$$\Psi_x = \frac{\psi_x}{\Psi_0}, \quad \Psi_y = \frac{\psi_y}{\Psi_0}, \quad \Psi_z = \frac{\psi_z}{\Psi_0}, \quad \Psi_0 = V_0 L;$$

$$\Omega_x = \frac{\omega_x}{\omega_0}, \quad \Omega_y = \frac{\omega_y}{\omega_0}, \quad \Omega_z = \frac{\omega_z}{\omega_0}, \quad \omega_0 = \frac{V_0}{L}.$$

Безразмерные уравнения Буссинеска в переменных “векторный потенциал – вектор завихренности – температура” для рассматриваемой задачи имеют вид:

- для газовой фазы (рис. 1)

$$\frac{1}{\text{Но}} \frac{\partial \Omega_x}{\partial \tau} + U \frac{\partial \Omega_x}{\partial X} + V \frac{\partial \Omega_x}{\partial Y} + W \frac{\partial \Omega_x}{\partial Z} - \Omega_x \frac{\partial U}{\partial X} - \Omega_y \frac{\partial U}{\partial Y} - \Omega_z \frac{\partial U}{\partial Z} = \frac{1}{\sqrt{\text{Gr}}} \Delta \Omega_x + \frac{1}{2} \frac{\partial \Theta}{\partial Y}, \quad (1)$$

$$\frac{1}{\text{Но}} \frac{\partial \Omega_y}{\partial \tau} + U \frac{\partial \Omega_y}{\partial X} + V \frac{\partial \Omega_y}{\partial Y} + W \frac{\partial \Omega_y}{\partial Z} - \Omega_x \frac{\partial V}{\partial X} - \Omega_y \frac{\partial V}{\partial Y} - \Omega_z \frac{\partial V}{\partial Z} = \frac{1}{\sqrt{\text{Gr}}} \Delta \Omega_y - \frac{1}{2} \frac{\partial \Theta}{\partial X}, \quad (2)$$

$$\frac{1}{\text{Но}} \frac{\partial \Omega_z}{\partial \tau} + U \frac{\partial \Omega_z}{\partial X} + V \frac{\partial \Omega_z}{\partial Y} + W \frac{\partial \Omega_z}{\partial Z} - \Omega_x \frac{\partial W}{\partial X} - \Omega_y \frac{\partial W}{\partial Y} - \Omega_z \frac{\partial W}{\partial Z} = \frac{1}{\sqrt{\text{Gr}}} \Delta \Omega_z,$$

$$\Delta \Psi_x = -2 \cdot \Omega_x, \quad (4)$$

$$\Delta \Psi_y = -2 \cdot \Omega_y, \quad (5)$$

$$\Delta \Psi_z = -2 \cdot \Omega_z, \quad (6)$$

$$\frac{1}{\text{Но}} \frac{\partial \Theta}{\partial \tau} + U \frac{\partial \Theta}{\partial X} + V \frac{\partial \Theta}{\partial Y} + W \frac{\partial \Theta}{\partial Z} = \frac{1}{\text{Pr} \sqrt{\text{Gr}}} \Delta \Theta; \quad (7)$$

- для твердой фазы

$$\frac{\partial \Theta_i}{\partial \text{Fo}_i} = \Delta \Theta_i, \quad i = \overline{1, 4}. \quad (8)$$

Начальные и граничные условия для сформулированной задачи (1)–(8) имеют вид:

начальные условия:

$$\Psi_x(X, Y, Z, 0) = 0,$$

$$\Psi_y(X, Y, Z, 0) = 0,$$

$$\Psi_z(X, Y, Z, 0) = 0,$$

$$\Omega_x(X, Y, Z, 0) = 0,$$

$$\Omega_y(X, Y, Z, 0) = 0,$$

$$\Omega_z(X, Y, Z, 0) = 0,$$

$\Theta(X, Y, Z, 0) = 0$, за исключением источников тепловыделения, на которых во все время процесса $\Theta = 1$;

граничные условия:

- на границе, разделяющей внешнюю среду и рассматриваемую область, записываются граничные условия, отражающие теплообмен за счет конвекции и излучения рассматриваемого объема с внешней средой,

$$\frac{\partial \Theta_i(X, Y, Z, \tau)}{\partial X} = \text{Bi}_i \cdot \Theta_i(X, Y, Z, \tau) + \text{Bi}_i \cdot \frac{T_0 - T_{о.с}}{T_{и.т} - T_0} + Q_i,$$

$$Q_i = N_i \cdot \left[\left(\Theta_i(X, Y, Z, \tau) + \frac{T_0}{T_{и.т} - T_0} \right)^4 - \left(\frac{T_{о.с}}{T_{и.т} - T_0} \right)^4 \right],$$

где $i = 1, 3, 4$;

- на всех внешних границах рассматриваемой области кроме границы, на которой осуществляется теплообмен с внешней средой, заданы условия теплоизоляции

$$\frac{\partial \Theta_i(X, Y, Z, \tau)}{\partial X^k} = 0, \text{ где } \begin{matrix} i = \overline{1,3}, \\ k = \overline{1,3}; \end{matrix}$$

- на всех участках области решение, где происходит сопряжение материалов с различными теплофизическими параметрами, заданы условия 4-го рода

$$\begin{cases} \Theta_i = \Theta_j \\ \frac{\partial \Theta_i}{\partial X^k} = \lambda_{j,i} \frac{\partial \Theta_j}{\partial X^k}, \text{ где } \end{cases} \begin{matrix} i, j = 1, 2, 3, 4, 6; i \neq j, \\ k = \overline{1,3}; \end{matrix}$$

- на внутренних границах твердой фазы и воздушной, параллельных плоскости XZ ,

$$\Psi_x = \frac{\partial \Psi_y}{\partial Y} = \Psi_z = 0,$$

$$\begin{cases} \Theta_1 = \Theta_2, \\ \frac{\partial \Theta_1}{\partial Y} = \lambda_{2,1} \frac{\partial \Theta_2}{\partial Y}; \end{cases}$$

- на внутренних границах твердой фазы и воздушной, параллельных плоскости YZ ,

$$\frac{\partial \Psi_x}{\partial X} = \Psi_y = \Psi_z = 0,$$

$$\begin{cases} \Theta_i = \Theta_2, \\ \frac{\partial \Theta_i}{\partial X} = \lambda_{2,i} \frac{\partial \Theta_2}{\partial X}, \end{cases} i = 1, 4;$$

- на внутренних границах твердой фазы и воздушной, параллельных плоскости XY ,

$$\Psi_x = \Psi_y = \frac{\partial \Psi_z}{\partial Z} = 0,$$

$$\begin{cases} \Theta_i = \Theta_2, \\ \frac{\partial \Theta_i}{\partial Z} = \lambda_{2,i} \frac{\partial \Theta_2}{\partial Z}, \end{cases} i = \overline{1,3}.$$

Задача (1)–(8) с соответствующими граничными и начальными условиями решена методом конечных разностей [5, 6].

3. РЕЗУЛЬТАТЫ ЧИСЛЕННОГО АНАЛИЗА

Численные исследования проведены при следующих значениях безразмерных комплексов: $Но = 1$, $Gr = 10^6$, $Pr = 0.71$. Определяющие температуры имели следующие значения: $T_{o,c} = 253$ К, $T_{и,т} = 333$ К, $T_0 = 293$ К.

Линии тока и поле температуры, возникающие в области расположения источников тепловыделения $x = 0.78$ м, представлены на рис. 2 и 3. Сплошные линии тока (рис. 2) соответствуют движению против часовой стрелки, а штриховые – по часовой стрелке.

На рис. 2 представлены линии тока, соответствующие режиму конвективного теплопереноса при $Gr = 10^6$. Наличие циркуляционных течений в данном сечении области решения объясняется влиянием источников тепловыделения, которое описывается числом Грасгофа. Линии тока наглядно демон-

стрируют движение газовых масс: у источников тепловыделения они поднимаются, а у ближайшего элемента твердой фазы с относительно низкой температурой опускаются.

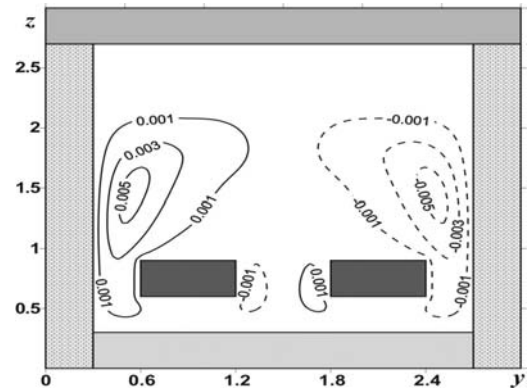


Рис. 2. Типичные линии тока в сечении $x = 0.78$ м; y, z , м

Симметричное положение изотерм на рис. 3 объясняется симметрией источников тепловыделения относительно оси $y = 1.5$ м. Заметно прогревание прямоугольного элемента твердой фазы у основания области решения (температура в этой зоне увеличилась на 3 К), что в свою очередь подтверждает влияние конвективного теплопереноса в газовой фазе на интенсификацию теплопроводности в элементе твердой фазы.

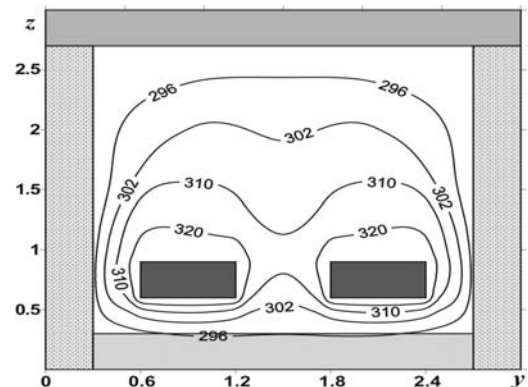


Рис. 3. Типичное поле температуры в сечении $x = 0.78$ м; y, z , м, T , К

На рис. 4 и 5 изображены линии тока и поле температуры, соответствующие сечению $y = 1.08$ м, проходящему через источник тепловыделения и область, прозрачную для излучения. Сплошные линии тока (рис. 4) соответствуют движению по часовой стрелке, а штриховые – против часовой стрелки.

В этом сечении присутствует область, прозрачная для излучения, состоящая из двух элементов твердой фазы и газовым слоем между ними. Между этими двумя слоями твердой фазы происходит движение массы газа против часовой стрелки, поскольку первый слой (при движении по оси x в положительном направлении) имеет температуру, меньшую, чем второй слой. Аналогичная картина течения находится за вторым слоем твердой фазы. Течение в этой области деформирует основное циркуляционное течение, находящееся внутри газовой полости.

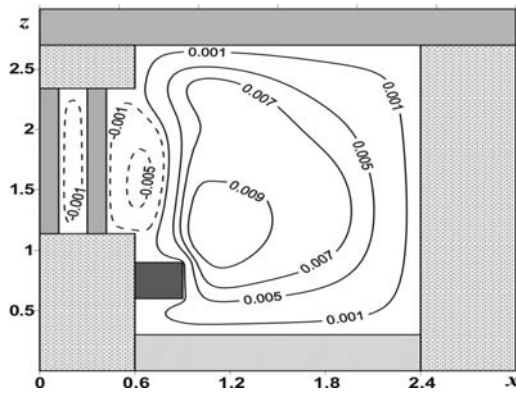


Рис. 4. Типичные линии тока в сечении $y = 1.08$ м; $x, z, \text{ м}$

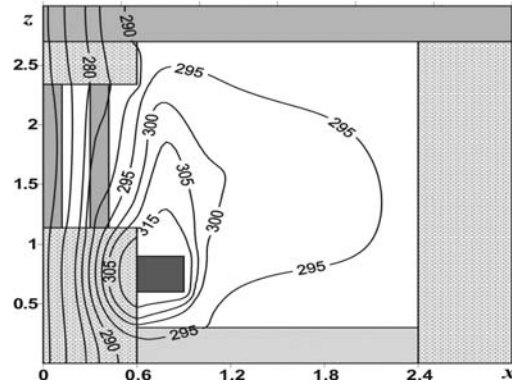


Рис. 5. Типичное поле температуры в сечении $y = 1.08$ м; $x, z, \text{ м}, T, \text{ К}$

Область, прозрачная для излучения, также вносит изменения в форму изотерм (рис. 5). В твердых слоях этой зоны изотермы продвигаются вглубь быстрее, чем в других окружающих элементах твердой фазы. Источник тепловыделения оказывает влияние на элемент твердой фазы, у которого он находится. В этой области происходит сопряжение изотерм, соответствующих низкой и высокой температурам, что приводит к деформации тепловой волны и неравномерному распределению температуры во втором слое области, прозрачной для излучения.

ЗАКЛЮЧЕНИЕ

Численно исследован режим термогравитационной конвекции в сопряженной постановке в условиях конвективно-радиационного теплообмена на одной из внешних граней области решения. Показано влияние как конвективного течения на интенсификацию теплопереноса в элементах твердой фазы (рис. 3, 5), так и кондуктивного теплопереноса в элементах твердой фазы на появление свободно конвективного течения (рис. 4).

Работа выполнена при финансовой поддержке РФФИ и администрации Томской области (грант № 05-02-98006 конкурс $p_обь_a$).

СПИСОК ОБОЗНАЧЕНИЙ

α – коэффициент температуропроводности, $\text{м}^2/\text{с}$;
 $Bi = \alpha L_x / \lambda$ – число Био;
 $Fo = at_0 / L_x^2$ – число Фурье;

g_z – z -составляющая вектора ускорения силы тяжести

($g_x = g_y = 0$), $\text{м}/\text{с}^2$;

$Gr = \beta g_z L_x^3 (T_{и.т} - T_0) / \nu^2$ – число Грасгофа;

H – размер рассматриваемой области решения по оси z , м;

$Ho = V_0 t_0 / L_x$ – число гомотокности;

$\vec{i}, \vec{j}, \vec{k}$ – орты декартовой системы координат;

L_x – размер области решения по оси x , м;

L_y – размер области решения по оси y , м;

$N = \varepsilon \sigma L_x (T_{и.т} - T_0)^3 / \lambda$ – число Старка;

$Pr = \nu / a$ – число Прандтля;

t – время, с;

t_0 – масштаб времени, с;

T – температура, К;

$T_{0,c}$ – температура окружающей среды, К;

T_0 – начальная температура области решения, К;

$T_{и.т}$ – температура на источнике тепловыделения, К;

u, v, w – составляющие скорости в проекциях на оси x, y, z соответственно, $\text{м}/\text{с}$;

U, V, W – безразмерные скорости, соответствующие u, v, w ;

V_0 – масштаб скорости (скорость конвекции), $\text{м}/\text{с}$;

x, y, z – декартовы координаты;

X, Y, Z – безразмерные координаты, соответствующие x, y, z ;

α – коэффициент теплообмена, $\text{Вт}/(\text{м}^2 \cdot \text{К})$;

β – температурный коэффициент объемного расширения, К^{-1} ;

Δ – оператор Лапласа;

ε – приведенная степень черноты;

Θ – безразмерная температура;

λ – коэффициент теплопроводности стенки, $\text{Вт}/(\text{м} \cdot \text{К})$;

$\lambda_{ij} = \lambda_i / \lambda_j$ – относительный коэффициент теплопроводности;

ν – коэффициент кинематической вязкости, $\text{м}^2/\text{с}$;

ρ – плотность, $\text{кг}/\text{м}^3$;

σ – постоянная Стефана-Больцмана, $\text{Вт}/(\text{м}^2 \cdot \text{К}^4)$;

τ – безразмерное время;

Ψ_x, Ψ_y, Ψ_z – компоненты векторного потенциала $\vec{\psi}$ в декартовой системе координат, $\text{м}^2/\text{с}$;

ψ_0 – масштаб компоненты векторного потенциала, $\text{м}^2/\text{с}$;

Ψ_x, Ψ_y, Ψ_z – безразмерные компоненты векторного потенциала, соответствующие Ψ_x, Ψ_y, Ψ_z ;

$\omega_x, \omega_y, \omega_z$ – компоненты вектора завихренности $\vec{\omega}$ в декартовой системе координат, с^{-1} ;

ω_0 – масштаб компоненты вектора завихренности, с^{-1} ;

$\Omega_x, \Omega_y, \Omega_z$ – безразмерные компоненты вектора завихренности, соответствующие $\omega_x, \omega_y, \omega_z$.

Индексы:

i, j – номер материала;

k – порядковый номер орта системы координат.

СПИСОК ЛИТЕРАТУРЫ

1. **Лыков А.В., Алексашенко А.А., Алексашенко В.А.** Сопряженные задачи конвективного теплообмена. Минск: Изд-во БГУ, 1971. 346 с.
2. **Leong W.H., Hollands K.G.T., Brunger A.P.** Experimental Nusselt numbers for a cubical-cavity benchmark problem in natural convection // International Journal of Heat and Mass Transfer. 1999. V.42. P.1979–1989.
3. **Джалурия Й.** Естественная конвекция: Тепло- и массообмен. М.: Мир, 1983. 400 с.
4. **Флетчер К.** Вычислительные методы в динамике жидкости. М.: Мир, 1991. Т.2. 555 с.
5. **Пасконов В.М., Полежаев В.И., Чудов Л.А.** Численное моделирование процессов тепло- и массообмена. М.: Наука, 1984. 288 с.
6. **Самарский А.А.** Теория разностных схем. М.: Наука, 1977. 656 с.